

캐비티 同調에 依한 마이크로파 트란지스터 發振器 (Microwave Transistor Oscillator by Cavity Resonator)

張 益 淚*, 金 炳 哲**

(IK Soo Chang and Byung Chul Kim)

要 約

무조건 안정한 트랜지스터를 요구하는 주파수에서 케비티 공진케이스 루우프를 이용하여 마이크로파 발진기를 설계하는 방법을 제시한다. 필요한 주파수로 공진하는 높은 Q의 공진기를 케이스 루우프로 걸어줌으로써 그 주파수에서만 트랜지스터의 출력 임피던스의 실수부가 부저항 특성을 갖게 할 수 있으므로, 주파수가 안정화 발진기를 구성한다.

본 연구에서는 실리콘 바이폴라 TR HXTR 2101과 Q가 크며, 실제 크기가 작은 리에트랜트 캐비티를 이용하여 발진 주파수 2.33GHz, 박선 출력 10mW의 발진기를 실현하여 보았다.

Abstract

A realization method of the microwave oscillator is proposed by the inherently stable transistor with a cavity resonator feedback loop. The real part of the output impedance of the inherently stable bipolar transistor can be made to be negative at the resonance frequency by the high-Q cavity feedback loop, and the oscillation condition can be obtained with the matching section of the load. In this work the microwave transistor oscillator is realized with a silicon bipolar transistor HXTR 2101 and a reentrant cavity, and characteristic of the output power 10m Watts at 2.33 GHz osc. frequency can be verified experimentally.

J. M. 5

磁共振成像(MRI)은 척추관협착증 진단에서 유익한 검사법이다. 특히 척추관협착증의 원인인髓核病理性변화를 관찰하는 데 있어 MRI는 매우 유용한 검사법이다. MRI는 척추관협착증 진단에서 유익한 검사법이다. 특히 척추관협착증의 원인인髓核病理性변화를 관찰하는 데 있어 MRI는 매우 유용한 검사법이다.

*正會員，西江大學校 理工大學 電子工程系
(Dept. of Elec. Eng., Science Univ.)

**正會員，金烏工科大學 電子工程系
(Dept. of Elec. Eng., Kumoh Inst. Tech.)

接通日期：1992年 5月 12日

(※ 이 논문은 1982년도 文教部 學術研究 助成費에
依하여 研究된 것임.)

이후로 세트트리에 의해 C-band에서 발진시
작동 방식은 1972년 P.M. Olivier에 의해서 발표
되었는데²⁾ 또는 YIG共振器를 이용하였다.

本論文에서는 Q가 낮고 마이크로스트립과 결합시
기는데 어려움이 있는 YIG 대신에 Q가 높고
마이크로스트립과의 연결도容易한 캐비티共振器를
여 TR放大器를製作하는方法을 提示하고자
하다.

이때, 캐비티는 餽壠 무우프로 利用이 되는데 餽壠 무우프가 必要한 理由은, TR이 不安定한 領域에 있으면 $S'_{11} = S_{11} - \frac{S_{12} S_{21} \Gamma_1}{1 - \Gamma_1 S_{22}}$ 의 $|S'_{11}|$ 이 1보다 커지므로 TR의 入力이나 出力 임피던스가 負가 되고 適當한 임피던스를 負荷로 連結하면 發振이 일어나게 되는데, TR이 조건부 安定인 경우에는 安定度 係數 K가 1보다 작아서 餽壠을 걸지 않아도 $|S'_{11}|$ 이 1보다 크게 되는 受動 負荷가 存在한다.^[3]

그러나, TR이 절대安定이면 어떤受動素子를連結하여도入力抵抗이正이되므로饋還을시켜야만 $|S'_{11}|$ 이1보다크게되어서負抵抗을얻을수있기때문이다.

現在マイクロウェーブTR発振器는 조건부安定인TR을利用하여發振器를製作하는 단계에 와 있으나TR이 절대安定인경우에饋還루우프를 어떤形態로構成하여發振을시킨드나하는問題點이남아있다.

本論文에서는マイクロウェーブ를製作할 때 꼭必要的마운트를共振器로만들어서마운트로利用하는同时에饋還루우프로利用하여 절대安定인TR로發振시킬수있는方法을제시하고자한다.

II. 캐비티饋還루우프에의한TR의負抵抗具現

發振器는 그림1과같이能動回路와受動回路의combinaison으로생각할수있다.

能動回路에서 $[I]=[Y][V]$,受動回路에서는 $[I']=[Y'][V']$ 이므로포트1과포트1'이連結됐다면 $[I]=-[I']$, $[V]=[V']$ 에서 $[(Y)+[Y']] \cdot [V]=0$ 이되고 $[I] \neq 0$ 이므로 $[(Y)+[Y']] \cdot [V]=0$ 이發振條件이된다.^[4]

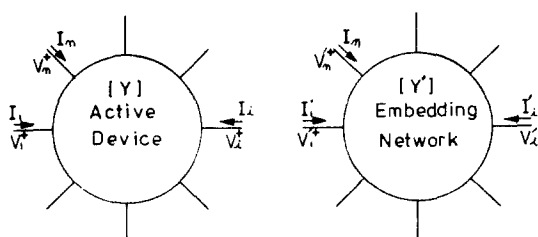


그림1. 멀티포트 발진기

Fig. 1. Multiport oscillator.

이發振條件 $[(Y)+[Y']] = 0$ 의解는여러가지가있으나그중 $[Y]+[Y']=0$ 을擇하면그림2에서캐비티와TR의y-파라미터의합이 $[Y]$ 가되고整合回路와부하 50Ω 이 $[Y']$ 이된다.

TR의S-파라미터를測定하고캐비티와連結하기 위한マイクロ스트립라인을그림2에서와같이 θ_1, θ_2 로놓고AA'에서의S-파라미터를求하면

$$[S'] = \begin{bmatrix} S_{11} e^{-j2\theta_1} & S_{12} e^{-j(\theta_1+\theta_2)} \\ S_{21} e^{-j(\theta_1+\theta_2)} & S_{22} e^{-j2\theta_2} \end{bmatrix} \text{가된다.}$$

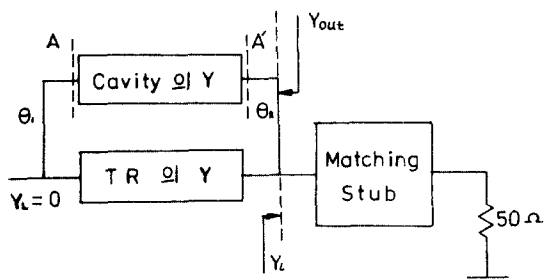


그림2. 발진 회로 설계를 위한 도표

Fig. 2. Block diagram for designing the oscillator.

이 $[S']$ 을式(1)에代입하여^[5]TR의y-파라미터를求하고또,測定된캐비티의S-파라미터로부터역시式(1)에의해캐비티의y-파라미터를求해서더하면 $[Y]$ 가된다.

$$\begin{aligned} y_{11} &= \frac{1+S_{22}-S_{11}-\Delta S}{1+S_{22}+S_{11}+\Delta S} \\ y_{12} &= \frac{-2S_{21}}{1+S_{22}+S_{11}+\Delta S} \\ y_{21} &= \frac{-2S_{12}}{1+S_{22}+S_{11}+\Delta S} \\ y_{22} &= \frac{1-S_{22}+S_{11}-\Delta S}{1+S_{22}+S_{11}+\Delta S} \end{aligned} \quad (1)$$

$$\Delta S = S_{11}S_{22} - S_{12}S_{21}$$

이 $[Y]$ 로부터 y_{out} 을求하면^[3]

$$y_{out} = y_{22} - \frac{y_{12} y_{21}}{y_{11} + Y_L}$$

$$Y_L = 0 \text{이된다.}$$

이때 $[Y]+[Y']=0$ 에서 $y_{out} = -y_e$ 이되는데 y_e 이受動回路이므로能動回路인 y_{out} 의實數部가負의값을가져야된다.

y_{out} 의實數部가负의값을갖게되는 θ_1, θ_2 의값은여러가지가있으나그중適當한값을擇하면그때의 y_{out} 은

$$y_{out} = -G+jB$$

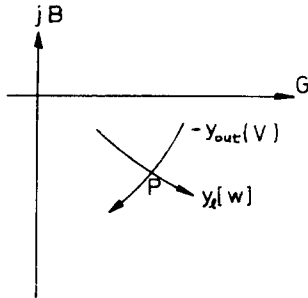
發振條件을만족하기위한 y_e 은

$$y_e = +G-jB$$

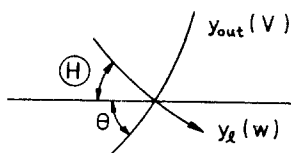
와같은負抵抗을얻을수있다.

이를그림으로그려서動作點을찾으면그림3과같이복소수平面에서각周波数에對한 y_{out} 과 y_e 을

그린 後 두 線이 만나는 P點이 動作點이 되어 發振이 일어난다.^[6]



(a) 소자신과 어드미턴스 측적



(b) (H)와 θ 의 정의

그림3. 발진 동작점을 찾기 위한 그래프

Fig. 3. Graph for finding the oscillation point.

이와 같이 決定된 動作點은 安定度 條件式 $A_0 = \left| \frac{\partial y_{out}(v)}{\partial v} \right| + \left| \frac{\partial y_e(w)}{\partial w} \right| \sin((H) + \theta) > 0$ 에 의해 그 安定度를 判別할 수 있다.^[7]

즉, $\sin((H) + \theta)$ 가 "+"여야 하므로 두 線이 이루는 角이 180° 보다 작아야 安定하다. ((H) : Large θ)

III. 리 엔트런트 캐비티에 의한 TR 發振器 設計

1. 캐비티 製作

發振器의 餌還 부우프로 利用되는 캐비티에는 여러 種類가 있으나 그 중 矩形 캐비티^[8]는 製作상의 問題點이 있고 圓筒形 캐비티는 다른 캐비티보다 Q는 높으나^[9] 周波数가 낮아질 경우 크기가 매우 커지므로 製作도 容易하고 크기도 작은 리-엔트런트 캐비티를 指했다.

본 실험에서 캐비티의 製作은 그림 4의 그레프^[10] 중 $\rho_2/\rho_1 = 1.5$ 인 경우를 指하고

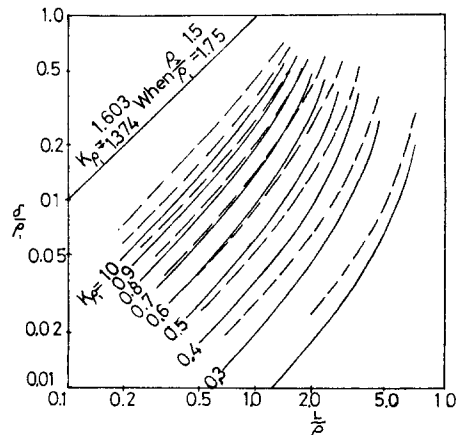


그림4. 리-엔트런트 캐비티 제작을 위한 그래프

Fig. 4. Graph for the re-entrant cavity.

그 중 $k\rho_1 = 0.6$

$$\delta / \rho_1 = 0.1$$

$$L / \rho_1 = 1$$

을 指하면 3GHz에서 $2\pi / \lambda = k = 2\pi / 10$ 이므로 $\rho_1 = 9.55\text{mm}$, $\rho_2 = 14.325\text{mm}$, $\delta = 0.955\text{mm}$ 가 된다.

이때 δ 를 더 크게 하면 캐퍼시턴스가 커지므로 jz , $\tan \beta L = -1 / jw_0c$ 에서 w_0 가 작아지게 된다.^[11]

$\delta = 0.4\text{ mm}$ 로 했을 때 共振 周波数가 2.33GHz가 됐다. (共振 周波数를 낮추려는 理由는 사용하려는 HX TR 2101이 3GHz에서는 이득(gain)이 낮기 때문인데 δ 를 0.4mm보다 더 크게하면 高次 모드로 동작하게 되어 周波数가 더 높아진다.)

만들어진 캐비티는 그림 5 (a), (b)와 같다.

이 캐비티에 그림 6에서와 같은 부우프 結合(coupling)을 하면

$$P = \frac{1}{Q_{ext}} = kx$$

여기서 P ; Loading power factor

k ; 結合係数

x ; Normalized reactance

이므로 루우프가 커지면 結合되는 量이 많아지는 대신 Q_{ext} 이 떨어지는 걸 알 수 있다.

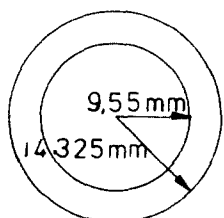
이와 같은 루우프 結合 캐비티의 S-파라미터를 測定한 뒤 基準線(reference line)의 길이와 port I, II의 50Ω 라인의 길이의 差異만큼 位相을 補償해 주면 補償된 S-파라미터는

$$[S] = \begin{bmatrix} 0.3 & -134.7^\circ & 0.82 & -46.4^\circ \\ -0.82 & -46.4^\circ & 0.42 & -91.9^\circ \end{bmatrix}$$

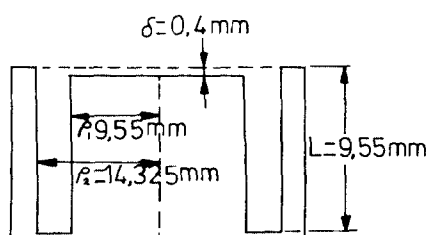
가 되고 이들 y-파라미터로 고치면

$$[y] = \begin{bmatrix} -2.158 & -48.03^\circ & 2.237 & -56.627^\circ \\ 2.237 & -56.627^\circ & 1.394 & -43.24^\circ \end{bmatrix}$$

가 된다.

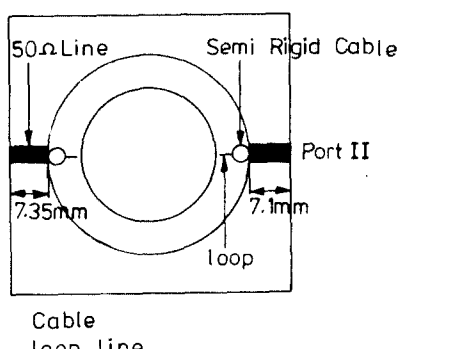


(a) Top view



(b) Side view

그림5. 제작된 리-엔트란트 캐비티
Fig. 5. Manufactured re-entrant cavity.



케이블의 지름 : 2.25mm

루우프 라인의 지름 : 0.3mm

그림6. 루우프 결합된 캐비티

Fig. 6. Loop coupled cavity.

2. TR의 S-파라미터 测定

TR의 S-파라미터 测定 回路에 그림 7과 같은 bias回路를 連結하고 [13] S-파라미터를 测定한 뒤 位相을 補償해 줘야 하는데 TR 测定 回路의 50Ω 라인의 길이와 基準線의 길이가 같으므로 S_{11} , S_{22} 는 補償해 줄 필요가 없고 S_{12} , S_{21} 만 TR만큼의 差異, 즉 11.4° 를 補償해 주면 된다.

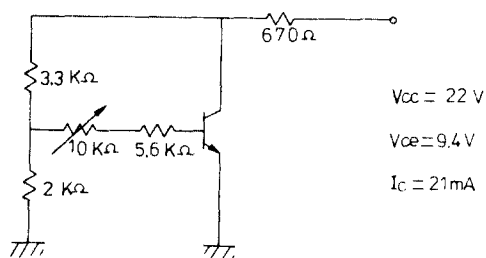


그림7. TR의 S-파라미터 측정 회로의 바이어스 회로

Fig. 7. Bias circuit of the circuit for measuring the S-parameter of the TR.

그러므로 실제 S-파라미터는

$$[S] = \begin{bmatrix} 0.41 / 22.5^\circ & 0.126 / 78.6^\circ \\ 2.51 / 47.1^\circ & 0.355 / 117^\circ \end{bmatrix}$$

이다.

이 S-파라미터를 캐비티와 TR의 連結에 必要한 길이 θ_1 , θ_2 만큼 位相을 變化시킨 S-파라미터로 바꿔 주고 그 S-파라미터를 y-파라미터로 바꿔준 뒤 캐비티의 y-파라미터를 더 해서 y_{out} 의 實數部가 負가 되게 하는 θ_1 , θ_2 를 求할 수 있다.

3. 發振 回路

負抵抗을 얻을 수 있는 많은 θ_1 , θ_2 중에서 $\theta_1 = 10^\circ$, 20° , 30° 인 경우를 골라서 10° 씩 變化시킨 θ_2 를 Smith chart 상에서 그려보면 그림 8과 같다.

그 중 stub의 깊이, 基板의 크기 등을 고려해서 θ 를 정하면 $\theta_1 = 30^\circ$, $\theta_2 = 170^\circ$ 일때가 가장 알맞다.

이때의 $y_{out} = -2.77 + j0.23$ 이고 發振 條件에 의해 $y_e = 2.77 - j0.23$ 이 되는데 이 y_e 를 50Ω에 整合시키기 위한 stub의 길이를 그림 8의 Smith chart에서 求해 보면 series stub의 길이는 $0.085\lambda g$, shunt stub의 길이는 $0.1323\lambda g$ 가 된다.

2.33GHz 에서 $\lambda g = 89.16\text{mm}$ 이므로

Series stub의 길이 = 7.58mm

Shunt stub의 길이 = 11.8mm

$$\theta_1 = 30^\circ \rightarrow \ell_1 = 7.43\text{mm}$$

$$\theta_2 = 170^\circ \rightarrow \ell_2 = 42.1\text{mm} \text{ 가 된다.}$$

이 結果를 利用해서 回路를 構成해 보면 그림 9와 같다.

A, B 地點의 0.1mm 라인과 AA' 사이와 BB' 사이의 코일은 바이어스線으로 r, f는 차단시키고 D, C만 通過시키는 役割을 한다.

그리고 TR은 C의 곳에 附着했는데 TR의 热放出

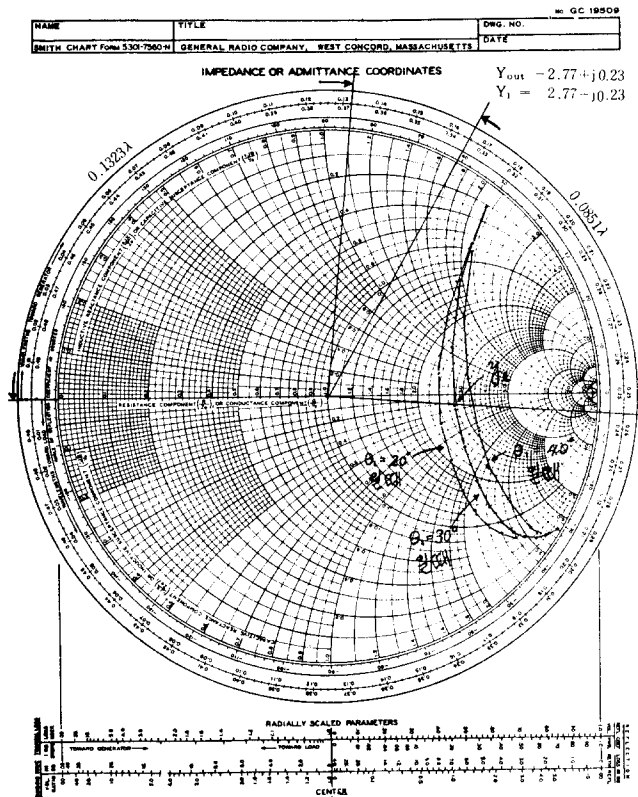


그림8.

Fig. 8.

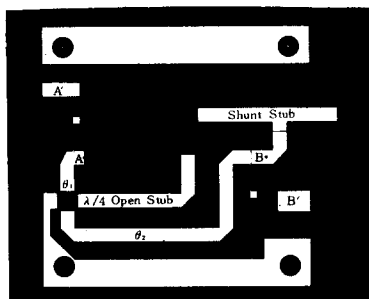


그림9. 발진기 회로

Fig. 9. Oscillator circuit.

그림 9의 回路에서 A와 B 地點은 커플링 루우프 쪽으로 바이어스 電壓의 D, C가 流入되는 것을 차단하게끔 0.1mm만큼 50Ω 라인을 끊고 캐패시터를 附着했다.

을 위해서 TR의 머리 부분(emitter)이 마운트에 接觸되게 連結했다.

에미터의 接地는 한 쪽은 $\lambda g/4$ open stub를 달고 다른 한 쪽은 서브스트레이트 接地시켰다.

IV. 製作한 發振器의 特性

實際 製作한 發振器는 寫真과 같다. 이 發振器의 出力を 周波数 컨버터에 連結하고 周波数 컨버터의 周波数을 變化시키면 발진되는 周波数에서만 오실로스코우프에 波形이 나타난다.

이와 같은 測定 結果 製作된 發振器의 發振 周波数가 2.33GHz였다.

發振器의 바이어스를 變化시킬면서 얻은 發振器의 出力은 그림10과 같다.

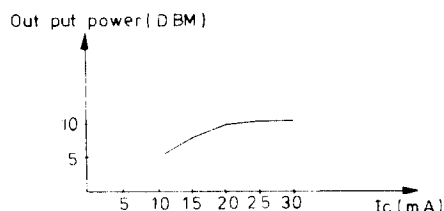


그림10. 제작한 발진기의 출력

Fig. 10. Out put power of the oscillator.

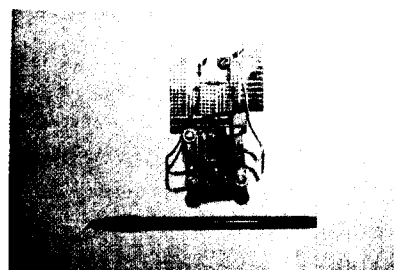


사진 실체 제작한 발진기

Photo Realized oscillator.

TR의 바이어스가 $V_{CE} = 4.93V$, $I_C = 10mA$ 일 때부터 發振이 始作되는데 $V_{CE} = 10.92V$, $I_C = 27mA$ 以 後로는 I_C 를 增加시켜도 더 이상 出力 파워가 增加되지 않았다.

이와 같은 TR 發振器로 正常狀態 (9 V, 20mA)에서 10mW의 出力を 얻을 수 있고 最大 出力 12.5mW 까지 얻을 수 있었다.

V. 結論

캐비티를 館還 무우프로 利用하여 마이크로웨이브 TR HXTR 2101(Hewlett Packard社 製作)의 S-파라미터와 캐비티의 S-파라미터로 부터 負抵抗을 얻었으며 이 負抵抗에 의하여 發振條件에 맞게 設計한 結果 2.33 GHz에서 10mW의 出力を 갖는 대단히 安定된 發振器를 製作할 수 있었다.

본 연구를 위하여 공군사관학교 전자공학과의 network analyzer를 이용하였으며 특히 공사의 권영락 교수님께 깊은 감사를 드립니다. 또한 이 연구는 1981년도 문교부 연구조성비에 의하여 수행 되었습니다.

参考文献

- [1] V. G. Gelnovatch, T. F. Burke, "Computer aided design of wide-band integrated microwave transistor amplifier on high dielectric substrates", *IEEE, Transaction on Electron Devices*, July 1968.
- [2] P. M. Olivier, "Microwave YIG-tuned oscillator amplifier design"; application to c-band", *IEEE, Journal of Solid-State Circuits*, Feb. 1972.
- [3] R. S. Carson, *High Frequency Amplifier*, John Wiley & Sons, Inc. 1975.
- [4] A. P. S. Khana, J. Obregon, "Microwave oscillator analysis", *IEEE, Trans. on Microwave, Short Paper*, Jun. 1981.
- [5] J. Helszajn, *Passive and Active Microwave Circuits*. John Wiley & Sons, Inc. 1978.
- [6] Kurokawa, *An Introduction to the Theory of Microwave Circuits*. Academic Press, Inc., 1969.
- [7] M. J. Howes, D. V. Morgan, *Microwave Devices*, John Wiley & Sons, Ltd. 1976.
- [8] Ramo Whinnery, Van Duzer, "Field and waves in communication electronics" John Wiley & Sons, Ltd. 1965.
- [9] I. G. Wilson, C. W. Schamm, J. P. Kinzer, *High Q Resonant Cavities for Microwave Testing*, Bell System Technical Journal.
- [10] T. S. Saad, *Microwave Engineers' Handbook*, vol. 1, Artech House Inc., 1971.
- [11] R. E. Collin, *Foundation for Microwave Engineering*, McGraw-Hill Book Co., 1966.
- [12] D. S. James, G. R. Pinchaud, W. J. R. Hoefer, "Aperture coupling between microstrip and resonant cavity," *IEEE, Trans. on Microwave*, May 1977.
- [13] *Microwave Transistor Bias Consideration*. Application Note 944 - 1 Hewlett-packard.